と Eco-Environmental Knowledge Web



ENVIRONMENTAL SCIENCE

ISSN 0250-3301 CODEN HCKHDV HUANJING KEXUE

- 主办 中国科学院生态环境研究中心
- ■出版科学出版社





2020

Vol.41 No.8 第41卷 第8期

ENVIRONMENTAL SCIENCE

第41卷 第8期 2020年8月15日

目 次

福来大语的与26气血污染应急减制精液及环化分析
。
中担区黄阳市一处重度污染期间 PM,中 12 种级量元素对征及来源种析
推薦集 田原、毛屬、刘威杰、石明明、生貌、胡云殿、郑后郎、杉士华、别金原(456) 中市冬季重污染二次有机化学污染特征及 VOCs 对 SOA 生成潜势 体力、多观、所数、大型、原产、生之作、热力深、除愈、刀龙、(3422) 川市某城区冬季不同污染水平大气 VOCs 特征及照解析 (42、房观、用效关、高溪黄、炀宁、李立作、热力深、除愈、邓介文(3422) (21 金) 2010 - 2018 中生物质燃烧中等将发性有机物(NoCs) 棒故声单 朱太忠、王允、贵家、民司他、李明、王传说(3507) (21 金) 2010 - 2018 中生物质燃烧中等将发性有机物(NoCs) 棒故声单 朱太忠、王允、贵家、民司他、李明、王传说(3517) (21 金) 2010 - 2018 中生物质燃烧中等将发性有机物(NoCs) 棒故声单 朱太忠、王允、贵家、民司他、李明、王传说(3517) (21 金) 2010 - 2018 中生物质燃烧中等将发性有机物(NoCs) 棒故声单 朱太忠、王允、帝帝、一回名、光动、近面相、中代众(3527) 安市点代良氧污染特征及聚聚性分析
指揮表域区冬季不同污染水平大气 VOCs 特征及跟解析 特正、房逝、肾逝、肾炎、高观繁、粉宁、辛之体、邓为茂、殊生、邓为文(1492)
州市東歐区冬季和同污染水平大气 VOC 等極 医胸解析 "年一升,尹沙沙、张朝帝、干生恋、 形貌、张信(360) 江下伯州 2010 - 2019 年生物质验验中等密发性有限的 (VOCS) 排放清单 朱木慧、王信、宠凌、 原司先、李君、王德(5311) 方常见绿化柯种 BVOCs 排放特征及其与光合作用参数的相关任 高平、庄立族、王克、陈寿萍,同烹、流动、危面雅、平允后(3527) 安市市场政策型地面臭氧变化特征与影相位于 高平、庄立族、王克、陈寿萍,同烹、流动、危面雅、平允后(3527) 安市市场政策型地面臭氧变化特征与影相位于 高平、庄立族、王克、陈寿萍,同烹、流动、危面雅、平允后(3527) 安市高校校园地表处土重金属污染非源期解析 -
11 二角類 2010 - 2018 年生物硬燃烧中等挥发性有视物(1VOCs) 接滤清单
州地区授予不同站点类型地面风气氧空化等征于验验的性子 空市公气臭氧污染等格征及敏感性分析
安市大Q氧等次學能及短感性分析
安市高於民間地表灰土重全國污染來屬較析 (馬排放高階灰气色颗粒物監測方法及燃气电厂实际测试 一下整大,等原、果美、异新卫、刘楚朝、春育(3565) 于交通流的成都市高分辨率机动车排放清单建立 清玉建、李髮、陈军鲜、石嘉诚、田红、张耒、周载、陈襄阳、吴柳原、月元、杨心怡(3572) 于交通流的成都市高分辨率机动车排放清单建立 清玉建、李髮、陈军鲜、石嘉诚、田红、张耒、周载、陈襄则、对政、钱聚(3581) 黄所新、应略券、夏加、马海林、杨堰军、杜晓夏(3591) 两水体分层对沉积物间除水煮蛋重向分布影响,以三峡水库和小湾水库为例 动静思、朱晓声、胡子龙、张思思、杨正健、纪遗疏、刘德富(3601) 市河道污染植物野落结构时空变化转症及影响因素分析 特定、陈本印、亲生、李嘉、聂云汉、叶建锋(3612) 每件通道污染植物群落结构时空变化转位及影响因素分析 特定、陈本印、光速、水水、泉、水工、胡双庆、白玉杰(3621) 氧化钙(CaO)、联合生物类对河道底泥的修复 "特定、除小平、沈模样、朱美、钱晚嘉、张心良、张卫、胡双庆、白玉杰(3621) 事在医院长便城坡沟垄果周氪、磷输出过程及流失负荷 "声水、王玉克、刘勤、徐麒、月泽军、3663) 健康值使地区城市小区降雨径流污染特征及负荷估算 在成等(5°8°8-NO ₅)。4°8-NO ₅) 和 IsaSource 模型的岩溶槽谷区地下水硝酸盐来源的定量示综 徐璐、蒋勇军、段世峰、何瑜亮(3637) 埃库区模度使侧坡沟垄果周氪、磷输出过程及流失负荷 广西、王王克、刘勤、徐麒、同洋是(3655) 是旋植化地区城市小区降雨径流污染特征及负荷估算 在成等特性对生物膜形成影响 从直转特性对生物膜形成影响 兼起熬、单弦媚。毒芽、张生质、黄、方相类、方治图(3684) 是旋植化地区域市场现积积的原有为 北京林、宁泉、东北层、新水层、3675) 北京林、野和、新北、东东、美州、清阳、高流、3787。 北京林、宇宙、海水、美洲、海、海、海、海、海、海、海、海、海、海、海、海、海、海、海、海、海、海、
安市高於民間地表灰土重全國污染來屬較析 (馬排放高階灰气色颗粒物監測方法及燃气电厂实际测试 一下整大,等原、果美、异新卫、刘楚朝、春育(3565) 于交通流的成都市高分辨率机动车排放清单建立 清玉建、李髮、陈军鲜、石嘉诚、田红、张耒、周载、陈襄阳、吴柳原、月元、杨心怡(3572) 于交通流的成都市高分辨率机动车排放清单建立 清玉建、李髮、陈军鲜、石嘉诚、田红、张耒、周载、陈襄则、对政、钱聚(3581) 黄所新、应略券、夏加、马海林、杨堰军、杜晓夏(3591) 两水体分层对沉积物间除水煮蛋重向分布影响,以三峡水库和小湾水库为例 动静思、朱晓声、胡子龙、张思思、杨正健、纪遗疏、刘德富(3601) 市河道污染植物野落结构时空变化转症及影响因素分析 特定、陈本印、亲生、李嘉、聂云汉、叶建锋(3612) 每件通道污染植物群落结构时空变化转位及影响因素分析 特定、陈本印、光速、水水、泉、水工、胡双庆、白玉杰(3621) 氧化钙(CaO)、联合生物类对河道底泥的修复 "特定、除小平、沈模样、朱美、钱晚嘉、张心良、张卫、胡双庆、白玉杰(3621) 事在医院长便城坡沟垄果周氪、磷输出过程及流失负荷 "声水、王玉克、刘勤、徐麒、月泽军、3663) 健康值使地区城市小区降雨径流污染特征及负荷估算 在成等(5°8°8-NO ₅)。4°8-NO ₅) 和 IsaSource 模型的岩溶槽谷区地下水硝酸盐来源的定量示综 徐璐、蒋勇军、段世峰、何瑜亮(3637) 埃库区模度使侧坡沟垄果周氪、磷输出过程及流失负荷 广西、王王克、刘勤、徐麒、同洋是(3655) 是旋植化地区城市小区降雨径流污染特征及负荷估算 在成等特性对生物膜形成影响 从直转特性对生物膜形成影响 兼起熬、单弦媚。毒芽、张生质、黄、方相类、方治图(3684) 是旋植化地区域市场现积积的原有为 北京林、宁泉、东北层、新水层、3675) 北京林、野和、新北、东东、美州、清阳、高流、3787。 北京林、宇宙、海水、美洲、海、海、海、海、海、海、海、海、海、海、海、海、海、海、海、海、海、海、
[] 市船舶控制区大气污染物排放清单与污染特征
[] 市船舶控制区大气污染物排放清单与污染特征
[] 市船舶控制区大气污染物排放清单与污染特征
于交通流的战都市高分辨率机动车排放清单建立
同水体分层对沉积物间即水氮素垂向分布影响,以三峡水库和小湾水库为例
同水体分层对沉积物间即水氮素垂向分布影响,以三峡水库和小湾水库为例
刘静愿,朱晓声,胡子龙,张思思,杨正健、纪道斌、刘德富(3601)梅河道表层水及沉积物中碳塑料的污染现状与污染行为
市河道寿层水及沉积物中做塑料的污染现状与污染行为
海河道浮游植物群落结构时空变化特征及影响因素分析
等志、陈小华、沈根祥、朱英、钱晓雍、张心良、张卫、胡双庆、白玉杰(3621) 氧化钙(CaO ₂)联合生物炭对河道底泥的修复 — 李雨平、姜堂堂、刘宝明,阮文权、缪恒锋(3629) 于双同位素(8 ¹⁵ N-NO ₅ -8 ¹⁸ O-NO ₅)和 IsoSource 模型的岩溶槽谷区地下水硝酸盐来源的定量示踪
于双同位素(8*N-NO ₃ -8*O-NO ₃ -)和 IsoSource 模型的岩溶槽谷区地下水硝酸盐来源的定量示踪
于双同位素(8*N-NO ₃ -8*O-NO ₃ -)和 IsoSource 模型的岩溶槽谷区地下水硝酸盐来源的定量示踪
徐璐、蒋勇军、段世辉、何瑞亮(3637)
度城镇化地区城市小区降雨径流污染特征及负荷估算 高斌,并有鹏,陆苗,林芷欣,徐兴(3657)
度城镇化地区城市小区降雨径流污染特征及负荷估算 高斌,并有鹏,陆苗,林芷欣,徐兴(3657)
化生物膜系统对低温的适应特性: MBBR 和 IFAS 李韧,于莉芳,张兴秀,戴子承,滑思思,彭党聪(3691) 质硫自养短程反硝化耦合厌氧氨氧化强化脱氮 方文烨,李祥,黄勇,郭超然,胡羽婷,陶仁杰(3699) 歇梯度曝气的生活污水好氧颗粒污泥脱氮除磷 张玉君,李冬,李帅,张杰(3707) 于不同废污泥源的短程反硝化快速启动及稳定性 张星星,王超超,王垚,徐乐中,吴聘(3715) 于 AHP-PROMETHEE II 法的鸟类石磷间收污泥预处理方案决策 刘吉宝,牛雨形,郁达伟,谭颖锋,左壮,魏源送(3731) 于厌氧膜生物反应器的剩余污泥-餐厨垃圾厌氧共消化性能 戴金金,牛承鑫,潘阳,陆雪琴,甄广印,郑朝婷,张瑞良,何欣昱(3740) 剂量抗生素诱导抗性基因水平迁移 袁其懿,CHEN Hong-jie,Laurence Haller,何义亮(3748) 刚素胁迫对 Shigella flexneri 细菌四环素抗性基因抗性表达的影响过程 高品,阮晓慧,邱文婕,薛罡,钱雅洁(3758) 股对氨氧化菌和亚硝酸盐氧化菌的竞争性选择 高品,阮晓慧,邱文婕,薛罡,钱雅洁(3758) 股对氨氧化菌和亚硝酸盐氧化过程中微生物菌群结构影响 侯晓薇,牛永健,李维维,王光杰,孙洪伟(3773) 生物种同相互作用产生锰氧化的普适性选择 海路,等波,李维维,甚光杰,孙洪伟(3773) 生物种同相互作用产生锰氧化的普适性及其潜在应用 宁雪,梁金松,柏耀挥,廖恺玲俐,刘贞辉(3781) 亚河红树林表层沉积物中好氧氨氧化微生物的分布特征及潜在硝化速率 罗晴,甄毓,彭宗波,贺惠(3781) 亚河红树林表层沉积物中好氧氨氧化微生物的分布特征及潜在硝化速率 罗晴,甄翰,彭宗波,贺惠(3787) 变碳输入对新疆天山雪岭云杉林土壤呼吸的短期影响 师章,方笑堃,罗小三,张丹,吴礼春,邱丹,陈志炜,赵辟(3797) 变碳输入对新疆天山雪岭云杉林土壤呼吸的短期影响 原生,方笑堃,罗小三,张丹,吴礼春,邱升,陈志炜,赵辟(3804) 机无机肥配施对不同程度盐渍土 N ₂ O 排放的影响
化生物膜系统对低温的适应特性: MBBR 和 IFAS 李韧,于莉芳,张兴秀,戴子承,滑思思,彭党聪(3691) 质硫自养短程反硝化耦合厌氧氨氧化强化脱氮 方文烨,李祥,黄勇,郭超然,胡羽婷,陶仁杰(3699) 歇梯度曝气的生活污水好氧颗粒污泥脱氮除磷 张玉君,李冬,李帅,张杰(3707) 于不同废污泥源的短程反硝化快速启动及稳定性 张星星,王超超,王垚,徐乐中,吴聘(3715) 于 AHP-PROMETHEE II 法的鸟类石磷间收污泥预处理方案决策 刘吉宝,牛雨形,郁达伟,谭颖锋,左壮,魏源送(3731) 于厌氧膜生物反应器的剩余污泥-餐厨垃圾厌氧共消化性能 戴金金,牛承鑫,潘阳,陆雪琴,甄广印,郑朝婷,张瑞良,何欣昱(3740) 剂量抗生素诱导抗性基因水平迁移 袁其懿,CHEN Hong-jie,Laurence Haller,何义亮(3748) 刚素胁迫对 Shigella flexneri 细菌四环素抗性基因抗性表达的影响过程 高品,阮晓慧,邱文婕,薛罡,钱雅洁(3758) 股对氨氧化菌和亚硝酸盐氧化菌的竞争性选择 高品,阮晓慧,邱文婕,薛罡,钱雅洁(3758) 股对氨氧化菌和亚硝酸盐氧化过程中微生物菌群结构影响 侯晓薇,牛永健,李维维,王光杰,孙洪伟(3773) 生物种同相互作用产生锰氧化的普适性选择 海路,等波,李维维,甚光杰,孙洪伟(3773) 生物种同相互作用产生锰氧化的普适性及其潜在应用 宁雪,梁金松,柏耀挥,廖恺玲俐,刘贞辉(3781) 亚河红树林表层沉积物中好氧氨氧化微生物的分布特征及潜在硝化速率 罗晴,甄毓,彭宗波,贺惠(3781) 亚河红树林表层沉积物中好氧氨氧化微生物的分布特征及潜在硝化速率 罗晴,甄翰,彭宗波,贺惠(3787) 变碳输入对新疆天山雪岭云杉林土壤呼吸的短期影响 师章,方笑堃,罗小三,张丹,吴礼春,邱丹,陈志炜,赵辟(3797) 变碳输入对新疆天山雪岭云杉林土壤呼吸的短期影响 原生,方笑堃,罗小三,张丹,吴礼春,邱升,陈志炜,赵辟(3804) 机无机肥配施对不同程度盐渍土 N ₂ O 排放的影响
化生物膜系统对低温的适应特性: MBBR 和 IFAS 李韧,于莉芳,张兴秀,戴子承,滑思思,彭党聪(3691) 质硫自养短程反硝化耦合厌氧氨氧化强化脱氮 方文烨,李祥,黄勇,郭超然,胡羽婷,陶仁杰(3699) 歇梯度曝气的生活污水好氧颗粒污泥脱氮除磷 张玉君,李冬,李帅,张杰(3707) 于不同废污泥源的短程反硝化快速启动及稳定性 张星星,王超超,王垚,徐乐中,吴聘(3715) 于 AHP-PROMETHEE II 法的鸟类石磷间收污泥预处理方案决策 刘吉宝,牛雨形,郁达伟,谭颖锋,左壮,魏源送(3731) 于厌氧膜生物反应器的剩余污泥-餐厨垃圾厌氧共消化性能 戴金金,牛承鑫,潘阳,陆雪琴,甄广印,郑朝婷,张瑞良,何欣昱(3740) 剂量抗生素诱导抗性基因水平迁移 袁其懿,CHEN Hong-jie,Laurence Haller,何义亮(3748) 刚素胁迫对 Shigella flexneri 细菌四环素抗性基因抗性表达的影响过程 高品,阮晓慧,邱文婕,薛罡,钱雅洁(3758) 股对氨氧化菌和亚硝酸盐氧化菌的竞争性选择 高品,阮晓慧,邱文婕,薛罡,钱雅洁(3758) 股对氨氧化菌和亚硝酸盐氧化过程中微生物菌群结构影响 侯晓薇,牛永健,李维维,王光杰,孙洪伟(3773) 生物种同相互作用产生锰氧化的普适性选择 海路,等波,李维维,甚光杰,孙洪伟(3773) 生物种同相互作用产生锰氧化的普适性及其潜在应用 宁雪,梁金松,柏耀挥,廖恺玲俐,刘贞辉(3781) 亚河红树林表层沉积物中好氧氨氧化微生物的分布特征及潜在硝化速率 罗晴,甄毓,彭宗波,贺惠(3781) 亚河红树林表层沉积物中好氧氨氧化微生物的分布特征及潜在硝化速率 罗晴,甄翰,彭宗波,贺惠(3787) 变碳输入对新疆天山雪岭云杉林土壤呼吸的短期影响 师章,方笑堃,罗小三,张丹,吴礼春,邱丹,陈志炜,赵辟(3797) 变碳输入对新疆天山雪岭云杉林土壤呼吸的短期影响 原生,方笑堃,罗小三,张丹,吴礼春,邱升,陈志炜,赵辟(3804) 机无机肥配施对不同程度盐渍土 N ₂ O 排放的影响
化生物膜系统对低温的适应特性: MBBR 和 IFAS 李韧,于莉芳,张兴秀,戴子承,滑思思,彭党聪(3691) 质硫自养短程反硝化耦合厌氧氨氧化强化脱氮 方文烨,李祥,黄勇,郭超然,胡羽婷,陶仁杰(3699) 歇梯度曝气的生活污水好氧颗粒污泥脱氮除磷 张玉君,李冬,李帅,张杰(3707) 于不同废污泥源的短程反硝化快速启动及稳定性 张星星,王超超,王垚,徐乐中,吴聘(3715) 于 AHP-PROMETHEE II 法的鸟类石磷间收污泥预处理方案决策 刘吉宝,牛雨形,郁达伟,谭颖锋,左壮,魏源送(3731) 于厌氧膜生物反应器的剩余污泥-餐厨垃圾厌氧共消化性能 戴金金,牛承鑫,潘阳,陆雪琴,甄广印,郑朝婷,张瑞良,何欣昱(3740) 剂量抗生素诱导抗性基因水平迁移 袁其懿,CHEN Hong-jie,Laurence Haller,何义亮(3748) 刚素胁迫对 Shigella flexneri 细菌四环素抗性基因抗性表达的影响过程 高品,阮晓慧,邱文婕,薛罡,钱雅洁(3758) 股对氨氧化菌和亚硝酸盐氧化菌的竞争性选择 高品,阮晓慧,邱文婕,薛罡,钱雅洁(3758) 股对氨氧化菌和亚硝酸盐氧化过程中微生物菌群结构影响 侯晓薇,牛永健,李维维,王光杰,孙洪伟(3773) 生物种同相互作用产生锰氧化的普适性选择 海路,等波,李维维,甚光杰,孙洪伟(3773) 生物种同相互作用产生锰氧化的普适性及其潜在应用 宁雪,梁金松,柏耀挥,廖恺玲俐,刘贞辉(3781) 亚河红树林表层沉积物中好氧氨氧化微生物的分布特征及潜在硝化速率 罗晴,甄毓,彭宗波,贺惠(3781) 亚河红树林表层沉积物中好氧氨氧化微生物的分布特征及潜在硝化速率 罗晴,甄翰,彭宗波,贺惠(3787) 变碳输入对新疆天山雪岭云杉林土壤呼吸的短期影响 师章,方笑堃,罗小三,张丹,吴礼春,邱丹,陈志炜,赵辟(3797) 变碳输入对新疆天山雪岭云杉林土壤呼吸的短期影响 原生,方笑堃,罗小三,张丹,吴礼春,邱升,陈志炜,赵辟(3804) 机无机肥配施对不同程度盐渍土 N ₂ O 排放的影响
质硫自养短程反硝化耦合厌氧氨氧化强化脱氮 方文烨,李祥、黄勇,郭超然,胡羽婷,陶仁杰(3699) 歇梯度曝气的生活污水好氧颗粒污泥脱氮除磷 张玉君,李冬,李帅,张杰(3707) 于不同废污泥源的短程反硝化快速启动及稳定性 张星星,王超超,王垚,徐乐中,吴鹏(3715) 于 AHP-PROMETHEE II 法的鸟粪石磷回收污泥预处理方案决策 刘吉宝,牛雨彤,郁达伟,谭颖锋,左壮,魏源送(3731) 于厌氧膜生物反应器的剩余污泥-餐厨垃圾厌氧共消化性能 戴金金,牛承鑫,潘阳,陆雪琴,甄广印,郑朝婷,张瑞良,何欣昱(3740) 剂量抗生素诱导抗性基因水平迁移 袁其懿,CHEN Hong-jie,Laurence Haller,何义亮(3748) 怀紊胁迫对 Shigella flexneri 细菌四环素抗性基因抗性表达的影响过程 高品,阮晓慧,邱文婕,薛罡,钱雅洁(3758) 胺对氨氧化菌和亚硝酸盐氧化过程中微生物菌群结构影响 侯晓薇,牛永健,李维维,王光杰,孙洪伟(3773) 建物种间相互作用产生锰氧化的普适性及其潜在布面用 宁雪,梁金松,柏耀辉,廖恺玲俐,刘会娟,曲久辉(3781) 亚河红树林表层沉积物中好氧氨氧化微生物的分布特征及潜在硝化速率 罗晴,甄毓,彭宗波,贺惠(3787) 氧污染对水稻生长,产量及矿质金属元素含量的影响 方笑堃,罗小三,张丹,吴礼春,邱丹,陈志炜,赵跃(3797) 变碳输入对新疆天山雪岭云杉林土壤呼吸的短期影响 市关堃,罗小三,张丹,吴礼春,邱丹,陈志炜,赵张(3797) 变碳输入对新疆天山雪岭云杉林土壤呼吸的短期影响 邓康,贡馨,两学敏,陈文静,张雪妃,朱海强(3804) 机肥配施对工同程度盐渍土 N,O 排放的影响
于 AHP-PROMETHEE II 法的鸟粪石磷回收污泥预处理方案决策
于 AHP-PROMETHEE II 法的鸟粪石磷回收污泥预处理方案决策
于 AHP-PROMETHEE II 法的鸟粪石磷回收污泥预处理方案决策
价铁对厌氧消化过程中氨氮抑制解除的影响
于厌氧膜生物反应器的剩余污泥-餐厨垃圾厌氧共消化性能 … 戴金金,牛承鑫,潘阳,陆雪琴,甄广印,郑朝婷,张瑞良,何欣昱(3740)剂量抗生素诱导抗性基因水平迁移 袁其懿,CHEN Hong-jie,Laurence Haller,何义亮(3748)
剂量抗生素诱导抗性基因水平迁移 袁其懿,CHEN Hong-jie,Laurence Haller,何义亮(3748) 环素胁迫对 Shigella flexneri 细菌四环素抗性基因抗性表达的影响过程
环素胁迫对 Shigella flexneri 细菌四环素抗性基因抗性表达的影响过程 高品,阮晓慧,邱文婕,薛罡,钱雅洁(3758) 胺对氨氧化菌和亚硝酸盐氧化菌的竞争性选择
胺对氨氧化菌和亚硝酸盐氧化菌的竞争性选择
温冲击对亚硝酸盐氧化过程中微生物菌群结构影响
生物种间相互作用产生锰氧化的普适性及其潜在应用
亚河红树林表层沉积物中好氧氨氧化微生物的分布特征及潜在硝化速率 罗晴,甄毓,彭宗波,贺惠(3787) 氧污染对水稻生长、产量及矿质金属元素含量的影响
氧污染对水稻生长、产量及矿质金属元素含量的影响 方笑堃,罗小三,张丹,吴礼春,邱丹,陈志炜,赵朕(3797)变碳输入对新疆天山雪岭云杉林土壤呼吸的短期影响 邓康,贡璐,何学敏,陈文静,张雪妮,朱海强(3804)机无机肥配施对不同程度盐渍土 N ₂ O 排放的影响 周慧,史海滨,郭珈玮,张文聪,王维刚(3811)位电阻热脱附土壤升温机制及影响因素 葛松,孟宪荣,许伟,施维林(3822) 穿灯心草作为酸性矿山废弃地先锋植物潜力 黄建洪,伏江丽,严鑫睿,尹凤,田森林,宁平,李英杰(3829) 灌方式和生物质炭对温室土壤矿质态氮及其微生物调控的影响 蔡九茂,刘杰云,邱虎森,吕谋超,周新国(3836) 秆炭调控对碱性镉污染水稻根际土壤真菌群落结构和功能的影响 郊师豆,韩耀光,朱新萍,吴相南(3846)
变碳输入对新疆天山雪岭云杉林土壤呼吸的短期影响
机无机肥配施对不同程度盐渍土 N ₂ O 排放的影响
位电阻热脱附土壤升温机制及影响因素 ····································
序灯心草作为酸性矿山废弃地先锋植物潜力 ······················ 黄建洪,伏江丽,严鑫睿,尹凤,田森林,宁平,李英杰(3829) 灌方式和生物质炭对温室土壤矿质态氮及其微生物调控的影响 ··············· 蔡九茂,刘杰云,邱虎森,吕谋超,周新国(3836) 秆炭调控对碱性镉污染水稻根际土壤真菌群落结构和功能的影响 ······················ 刘师豆,韩耀光,朱新萍,吴相南(3846)
灌方式和生物质炭对温室土壤矿质态氮及其微生物调控的影响 ·················· 蔡九茂,刘杰云,邱虎森,吕谋超,周新国(3836) 杆炭调控对碱性镉污染水稻根际土壤真菌群落结构和功能的影响 ················· 刘师豆,韩耀光,朱新萍,吴相南(3846)
秆炭调控对碱性镉污染水稻根际土壤真菌群落结构和功能的影响 刘师豆,韩耀光,朱新萍,吴相南(3846)
忙灰厕拴刈厕往输污染水稻恨际土壤具困栟洛萡构和切能的影响
(7 L. /) Attended Date (A. a.) Trans March Burger L. Att. (a.) He for A. H. A.
同水分管理模式联合叶面喷施硅肥对水稻 Cd 累积的影响 ····································
魏宾坛,周航,刘佳炜,张竞颐,黄芳,霍洋,胡雨丹,辜娇峰,刘俊,廖柏寒(3855)
合剂 GLDA 对象草修复镉污染农田的影响 ······················· 覃建军, 唐盛爽, 蒋凯, 黄敬, 侯红波, 龙坚, 彭佩钦(3862) 植业面源污染防控技术发展历程分析及趋势预测 ································ 俞映倞, 杨林章, 李红娜, 朱昌雄, 杨根, 薛利红(3870)
F境科学》征订启事(3636) 《环境科学》征稿简则(3764) 信息(3538,3628,3724)



基于厌氧膜生物反应器的剩余污泥-餐厨垃圾厌氧共 消化性能

戴金金1,牛承鑫1,潘阳1,陆雪琴1,2,甄广印1,3*,郑朝婷1,张瑞良1,何欣昱1

(1. 华东师范大学生态与环境科学学院,上海市城市化生态过程与生态恢复重点实验室,上海 200241; 2. 崇明生态研究院, 上海 200062; 3. 上海污染控制与生态安全研究院, 上海 200092)

摘要:采用厌氧膜生物反应器(anaerobic membrane bioreactor, AnMBR)进行剩余污泥与餐厨垃圾的共消化,研究其有机物的去 除特性、产气性能和微生物群落组成等运行性能. 结果表明,反应器运行过程中有机负荷(organic loading rate, OLR,以 VS 计) 稳定在 0.59~0.64 kg·(m³·d) -¹,挥发性固体(volatile solids, VS)降解率由单消化 17.5% 上升至共消化 40%, COD 截留率为 95.3%.消化液含固率提高了3.9倍,最终 CH4 体积分数稳定在60%, CH4 产量(以 CODadded 计)为78.7 mL·g⁻¹. 跨膜压差 (transmembrane pressure, TMP) 和平均 Flux 分别维持在 - 3.1 ~ - 2.7 kPa 和 0.106 L·(m²·h) - 1,膜污染较轻.16S rRNA 微生 物多样性分析表明, AnMBR 内部厌氧消化细菌主要是 Proteobacteria(变形菌门) 、Bacteroidetes(拟杆菌门) 和 Cloacimonetes(阴 沟单胞菌门),产甲烷菌中的优势菌科为 Methanobacterium(甲烷杆菌科),优势菌属为 Methanosaeta(甲烷鬃毛菌属)和 Methanolinea(甲烷绳菌属). 这将为 AnMBR 处理污泥及其它高含固率废物流的稳定性和运行性能研究提供有力的理论参考 依据,进而为生物质资源化和能源危机提供有效解决途径.

关键词: 厌氧膜生物反应器(AnMBR); 剩余污泥; 餐厨垃圾; 厌氧消化; 运行性能 中图分类号: X705 文献标识码: A 文章编号: 0250-3301(2020)08-3740-08 DOI: 10.13227/j. hjkx. 202001036

Performance of Anaerobic Membrane Bioreactors for the Co-digestion of Sewage **Sludge and Food Waste**

DAI Jin-jin¹, NIU Cheng-xin¹, PAN Yang¹, LU Xue-qin^{1,2}, ZHEN Guang-yin^{1,3*}, ZHENG Chao-ting¹, ZHANG Rui-liang¹, HE Xin-yu¹

(1. Shanghai Key Laboratory for Urban Ecological Processes and Eco-Restoration, School of Ecological and Environmental Sciences, East China Normal University, Shanghai 200241, China; 2. Institute of Eco-Chongming, Shanghai 200062, China; 3. Shanghai Institute of Pollution Control and Ecological Security, Shanghai 200092, China)

Abstract: A laboratory-scale anaerobic membrane bioreactor (AnMBR) was used for the co-digestion of sewage sludge and food waste to investigate its organic matter removal characteristics, biogas production performance, and microbial community composition. The results showed that the degradation rate of volatile solids (VS) increased from 17.5% for a single digestion to 40% for the total digestion, and that the COD removal was 95.3% when the organic loading rate (OLR) was stabilized at 0.59-0.64 kg·(m³·d) -1. The solids content of the digested sludge increased by a factor of 3.9. The final CH₄ content was 60% and the CH₄ yield was 78.7 $mL \cdot g^{-1}$ of COD_{added} . The transmembrane pressure (TMP) and average flux were maintained at between -3.1 and -2.7 kPa and 0. 106 L·(m²·h)⁻¹, respectively, and membrane fouling was not serious. According to an analysis of the microbial diversity using 16S rRNA, the anaerobic bacterium in the AnMBR were mainly phylum Proteobacteria, Bacteroidetes, and Cloacimonetes, and the dominant methanogens included the Methanobacterium family, Methanosaeta genus, and Methanolinea genus. This study provides a strong theoretical basis for research into the stability and performance of AnMBRs for the co-treatment of sludge and other high-solid waste streams, and provided an effective solution for biomass resource utilization and the energy crisis.

Key words: anaerobic membrane bioreactor (AnMBR); sewage sludge; food waste; anaerobic digestion; performance

随着污水处理率的提高,我国的污泥产量逐年 增加,据估计,到2025年,将有6000多万t的湿污泥 产生[1]. 污泥结构呈复杂的絮状体型,由胞外聚合 物(extracellular polymeric substances, EPS)、二价阳 离子和微生物细胞聚合而成,还含有大量的有机污 染物和病原体等,给生态系统平衡带来巨大的威 胁[2]. 污泥的厌氧消化已普遍应用于剩余污泥的处 理处置,能在减量化、稳定化污泥的同时,去除大量 病原体,利用有机物产生可再生能源甲烷[3]. 但由 于营养不充足、有机负荷低、生物降解能力低和污染 物毒性高等原因,污泥单消化过程缓慢且不稳 定[4]. 餐厨垃圾是一种典型的具有高生物降解能力

收稿日期: 2020-01-04; 修订日期: 2020-02-29

基金项目: 国家自然科学基金青年科学基金项目(51808226); 中央 高校基本科研业务费专项;上海市"科技创新行动计划" 一带一路"青年科学家交流国际合作项目 (17230741100); 上海高校特聘教授(东方学者)计划项 目(TP2017041); 上海市扬帆计划项目(19YF1414000)

作者简介: 戴金金(1996~),女,硕士研究生,主要研究方向为固体 废物处理处置与资源化,E-mail:13120652086@163.com

* 通信作者, E-mail: gyzhen@ des. ecnu. edu. cn

的生物质,其在中国城市固废中占比达到 40%~50%^[5].剩余污泥与餐厨垃圾共消化已被一些研究者证实可解决剩余污泥单消化的弊端^[4~6].例如,Dai等^[5]比较了高含固率脱水污泥与餐厨垃圾共消化、脱水污泥单消化的降解特性和动态性能,结果显示,餐厨垃圾的添加不仅改善了系统的稳定性,且随着餐厨垃圾混合比例的提高,甲烷产率和挥发性固体(volatile solids,VS)去除率均呈上升趋势.

但由于传统的厌氧发酵方式是完全混合式 (conventional continuous stirred tank reactor, CSTR), 会造成水力停留时间(hydraulic retention time, HRT)、固体停留时间(solids retention time, SRT)和 微生物滯留时间(microorganisms retention time, MCRT) 无法完全分离. 考虑到经济和能源效益, HRT 不能过长,而较短的 SRT 以及微生物的内源呼 吸作用会导致生物量流失、厌氧微生物生长缓慢、能 源转化效率低以及生物稳定化过程漫长,致使厌氧 发酵效果不佳^[7,8]. 厌氧膜生物反应器 (anaerobic membrane bioreactor, AnMBR) 是将膜对微生物及固 体的截留作用与厌氧稳定化耦合在一起,使 HRT 和 SRT 完全分离,保证反应器内的生物量,维持 AnMBR 中厌氧消化高反应性能的一项新兴技术^[9] AnMBR 的优势是生物质保留量高、占地面积小和消 化液产量低,还会带来更高的有机质生物降解效率。 更少的污泥产量、更好的出水质量及生物能恢复效 率^[2,10],尤其是净能源的增加. 据 Zhen 等^[7]统计研 究显示, AnMBR 处理污泥所得的净能源(28 425.6 MJ·d-1)比任何其它一种厌氧消化方式都十分具有 优势,其增加量超过70%.

基于此,本研究利用 AnMBR 进行剩余污泥和餐厨垃圾共消化,对厌氧消化过程中有机负荷(organic loading rate,OLR)与消化液固体浓度、有机物的去除特性、内部消化液的物理化学性质、膜污染性状和影响因素、产气性能以及厌氧消化微生物等方面的变化进行分析,以期为保证 AnMBR 处理污泥及其它高含固率废物流的稳定性和运行性能提供有力的操作条件理论依据,以及消化效能评估依据.

1 材料与方法

1.1 实验进料

本实验所用剩余污泥来自上海某污水处理厂的 二沉池,餐厨垃圾来自华东师范大学学生食堂,均保 存在4℃以下,剩余污泥和餐厨垃圾的初始物化性 质如表1所示.

1.2 实验装置及运行参数

AnMBR 的有效容积为 4 L, 膜组件是平板膜

表 1 剩余污泥和餐厨垃圾的物化性质

Table 1 Physical and chemical characteristics of sewage

	sludge and food waste	
实验参数1)	剩余污泥	餐厨垃圾
рН	6. 67 ± 0. 02	3. 72 ± 0. 01
ORP/mV	- 148. 00	_
黏度/mPa·s	2 673. 00	_
碱度/mg·L-1	$1\ 354.\ 40\ \pm 15.\ 90$	_
TS/g·L ⁻¹	21.88 ± 0.03	73. 10 ± 0.09
VS/g·L ⁻¹	16.20 ± 0.03	69. 10 ± 0.10
TCOD/mg·L ⁻¹	$24\ 000\ \pm 1131$	$67\ 744.\ 88\pm 6\ 303.\ 00$
SCOD/mg·L ⁻¹	1525.50 ± 50.00	$33\ 121.\ 60\ \pm576.\ 00$
TPN/mg·L ⁻¹	$19\ 250\ \pm 176$	$14\ 484.\ 93\ \pm 1\ 575.\ 00$
SPN/mg·L ⁻¹	737.50 ± 8.80	2 709. 88 ± 86. 44
TPS/mg·L ⁻¹	2447.40 ± 158.00	$23\ 239.\ 55\ \pm 521.\ 00$
SPS/mg·L ⁻¹	124.00 ± 1.86	9 531. 21 \pm 224. 00
NH_4^+ -N/mg·L ⁻¹	53.03 ± 0.61	112. 30 ± 7.80

1) ORP: oxidation-reduction potential,氧化还原电位; TS: total solids,总固体; VS: volatile solids,挥发性固体; TCOD: total chemical oxygen demand,总化学需氧量; SCOD: soluble chemical oxygen demand,溶解性化学需氧量; TPN: total protein,总蛋白; SPN: soluble protein,溶解性蛋白; TPS: total polysaccharose,总多糖; SPS: soluble polysaccharose,溶解性多糖; 碱度:以CaCO3 计

(Kubota Membrane Cartridge, Japan), 材质是聚偏氟 乙烯(polyvinylidene fluoride, PVDF),其膜面积和膜 孔径分别是0.116 m²和 0.45 μm. AnMBR 的运行过 程,首先向反应器内曝高纯 N, 10 min,以确保厌氧 环境,操作温度维持在36℃,剩余污泥投入反应器 后,污泥絮状体进行厌氧发酵,难溶的可降解有机物 会被膜截留在反应器内,充分降解,即 SRT 和 HRT 会完全分离,运行时间在1~28 d,HRT=20 d; 29~ 45 d, HRT = 15 d; 46~90 d, HRT = 10 d. 第 71 d,将 剩余污泥与餐厨垃圾以 0.5:0.5 的比例混合作为进 料基质, 反应器共运行 90 d. 此外, 循环气泵 (Zhourui, JH12-65, China)会在运行时间内曝气,气 泡从底部向上冲刷膜表面,以此减轻膜污染.pH、跨 膜压差(transmembrane pressure, TMP)、氧化还原电 位(oxidation-reduction potential, ORP) 在整个运行过 程中会被持续监测,实验装置原理如图1所示.

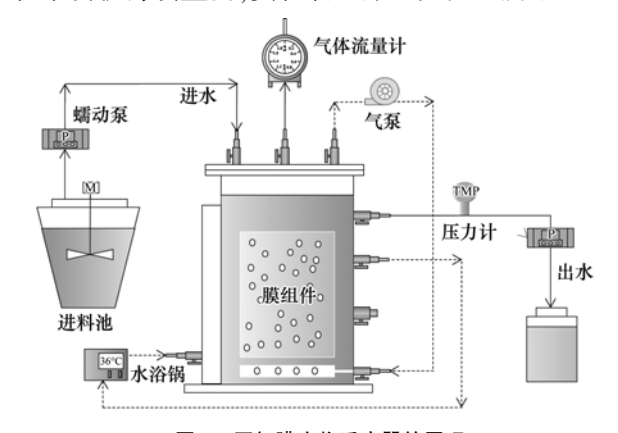


图 1 厌氧膜生物反应器的原理

Fig. 1 Schematic diagram of the anaerobic membrane bioreactor (AnMBR)

1.3 分析测定方法

TS、VS、TCOD、SCOD、NH₄⁺-N和碱度根据标准方法^[11,12]测定; TPN 和 SPN 根据 Lowry 程序测定^[13]; TPS 和 SPS 根据苯酚硫酸法测定^[14]; pH 使用 pH 计测定(Leizi, SX712, China); ORP 使用便携式 ORP 计(Sanxin, PHS-25, China)测定; 沼气的组分(CH₄、CO₂)体积分数由装有 TCD 检测器的气相色谱仪(Shimadzu, GC-2014C, Japan)测定.

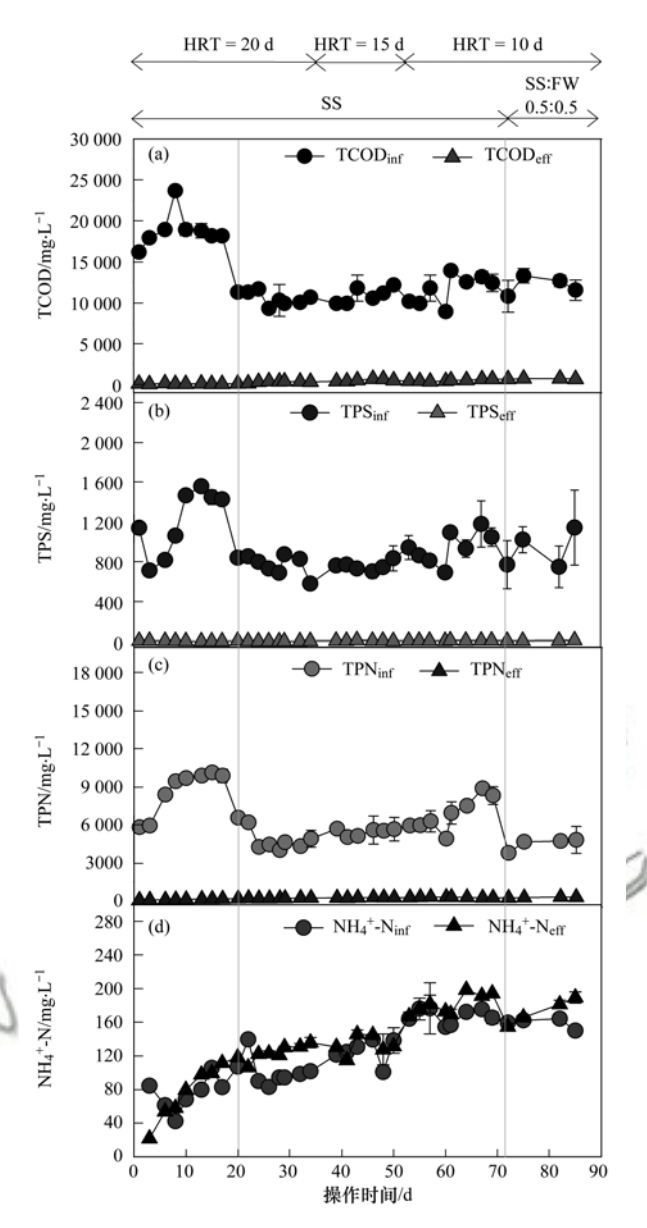
2 结果与讨论

2.1 有机负荷和消化液固体浓度分析

OLR 是厌氧消化中十分重要的操作参数.OLR 冲击会造成水解、酸化和甲烷化失衡[3]. 超负荷情 况下,反应系统内氢营养型产甲烷菌主导代谢过程, 但是会导致挥发性脂肪酸(volatile fatty acids, VFA) 积累,pH下降,且微生物群落的物种及功能更复杂, 群落反应也难以预测[4,15]. 根据进料基质的不同,本 研究共分为两个阶段,一是剩余污泥在 AnMBR 中 的单消化过程:二是剩余污泥和餐厨垃圾在 AnMBR 中的共消化过程. 第一阶段, OLR(以 VS 计, 下同)维持在 0.59 kg·(m³·d)-1, VS 降解率为 17.5%; 第二阶段, OLR 维持在 0.64 kg·(m³·d)⁻¹, VS 降解率增加到 40%. 由此可见, AnMBR 的 OLR 范围维持在 0.59~0.64 kg·(m3·d)-1时并未造成 酸化,运行过程稳定. 这与 Alfaro 等[16]的研究结果 致,其通过曝 H,对 AnMBR 的污泥厌氧消化进行沼 气原位改造, OLR 分别设置为(1.3 ± 0.2)、(1.5 ± 0.2)和(1.8±0.2)g·(L·d)⁻¹这3个阶段,对应的 VS 降解率分别达到了(48.4 ± 7.7)%、(48.5 ± 15)%和 (55.8 ± 9.3)%,其随 OLR 的增加呈上升趋势. 但一些 研究人员得到了不同的结果, Wandera 等[17] 采用 AnMBR 处理热水解后的污泥,在 HRT 为 30、20、10 和 5 d 时发现对应的 OLR 分别是 1.96、2.66、4.04 和 9.50 kg·(m³·d)⁻¹, VS 去除率呈下降趋势. 此外, 综上,OLR 的提高意味着更高的进料消化能力,通过 增强产甲烷菌活性,使有机质降解率得到提高[3,17], 但在超负荷情况下,会造成厌氧消化系统失衡,即 OLR 的设置应以反应器的设计、进料基质是否预处理 或者物化性质的不同以及其他操作条件的改变做出 相应的调整,保证消化系统稳定运行.

2.2 有机物的去除特性

图 2 分别展示了进料和出水的 TCOD、TPS、TPN 和NH₄⁺-N的浓度变化. 启动阶段(1~20 d),进料中 TCOD、TPS 和 TPN 的浓度较高,最高浓度分别达到 23 675、1 559 和 10 125 $\text{mg} \cdot \text{L}^{-1}$. 之后,进料中 TCOD、TPS 和 TPN 的浓度分别在8 925~13 925、



SS: sewage sludge, 剩余污泥; FW: food waste, 餐厨垃圾, 下同 图 2 进料和出水的物化性质 TCOD、TPS、TPN 和NH₄⁺-N 随操作时间的变化

Fig. 2 Physical and chemical characteristics of influent and effluent TCOD, TPS, TPN, and NH_4^+ -N versus operation time

582~1 180 和4 000~8 875 mg·L⁻¹范围内浮动. 反应器运行第71 d,虽然对进料进行了调整,由剩余污泥单消化调整为剩余污泥和餐厨垃圾共消化,但是各有机质的浓度依然在上述浓度范围内浮动. 这表明反应器启动阶段的进料有机质浓度较高,而后期相对稳定,在一定的浓度范围内浮动. 稳定运行期间,COD截留率维持在95.3%左右,稍低于一些之前的AnMBR污泥处理或餐厨垃圾处理研究结果^[18~20]. 例如,Hafuka等^[18]在研究 AnMBR 处理剩余污泥的消化性能时,对聚四氟乙烯(polytetrafluoroethylene, PTFE)中空纤维膜的性能进行分析,得出99%的 COD 截留率. 分析原因可能是研究所用的膜材料、膜孔径和膜

构造的不同^[18,19]. 如图 2(d)所示,启动阶段,由于蛋白质或其它含氮有机物的分解^[4,20],进料和出水的 NH_4^+ -N的浓度($mg \cdot L^{-1}$)均呈上升趋势,分别是从 84.4上升到 100.7 和 21.7上升到 127.7. 运行稳定后,反应器内没有 NH_4^+ -N积累,这可能是由于 NH_4^+ -N 可穿过膜孔^[3].

2.3 AnMBR 内部的物理化学性质分析

对于酸化细菌和产甲烷菌的微生物活动,pH 和碱度是十分重要的指标,可反映厌氧反应器的稳定性 [3]. 碱度具有中和酸的能力,其缓冲能力可保护厌氧消化系统. 产甲烷菌的 pH 适应范围是 $6.6 \sim 7.6^{[3]}$,其碱度的合适浓度(以 CaCO₃ 计,下同)应维持在3 000 mg·L [2], 减度从实验开始的1 000 mg·L [2] 逐渐增加到3 000 mg·L [4], 并保持稳定[图 3 (c)]. 氧化还原电位 (oxidation-reduction potential, ORP)代表了合适的厌氧微生物新陈代谢环境,维持在 =187 mV 左右[图 3(b)],这表明反应器内部厌氧消化系统稳定,适合厌氧发酵. 图 3(d)显示了反

应器内部总固体浓度 (total solids, TS) 和 VS 的变化. 从实验开始到结束, 由于未进行排泥, TS 和 VS 均逐渐累积, TS 浓度从 $10.4~{\rm g\cdot L^{-1}}$ 增加到 $47.2~{\rm g\cdot L^{-1}}$, VS 浓度从 $6.9~{\rm g\cdot L^{-1}}$ 增加到 $29.4~{\rm g\cdot L^{-1}}$, 分别提高了 74.6% 和 75.5%, VS/TS 从 60.1% 增加到 62.3%, 提高了 1.04 倍. 这些结果表明消化液积累了 3.9 倍,膜通过浓缩生物质,将消化液保留在了反应器内部,此结果较之前的一些研究 ($20~30~{\rm g\cdot L^{-1}}$)实现了更高的固体浓度维持 [10.18].

2.4 AnMBR 的膜污染性状及影响因素分析

运行时和未运行 TMP、运行时和平均 Flux 的变化情况如图 4(a) 所示. 在整个实验过程中, TMP相对稳定,运行时 TMP 和未运行 TMP 分别维持在 -3 kPa和 -2.7 kPa 左右. 此外,反应器运行过程中,测定了内部消化污泥的 TCOD、SPN 和 SPS, 其浓度($mg\cdot L^{-1}$)变化均呈上升趋势[图 3(e)、3(f) 和 3(g)],分别从9 835 到 36 320、91 到 355 以及 10 到 31. 如图 5 所示,根据 TMP 与 TCOD、SPN、SPS、pH、碱度、TS、VS和 VS/TS 的皮尔逊相关性分析,

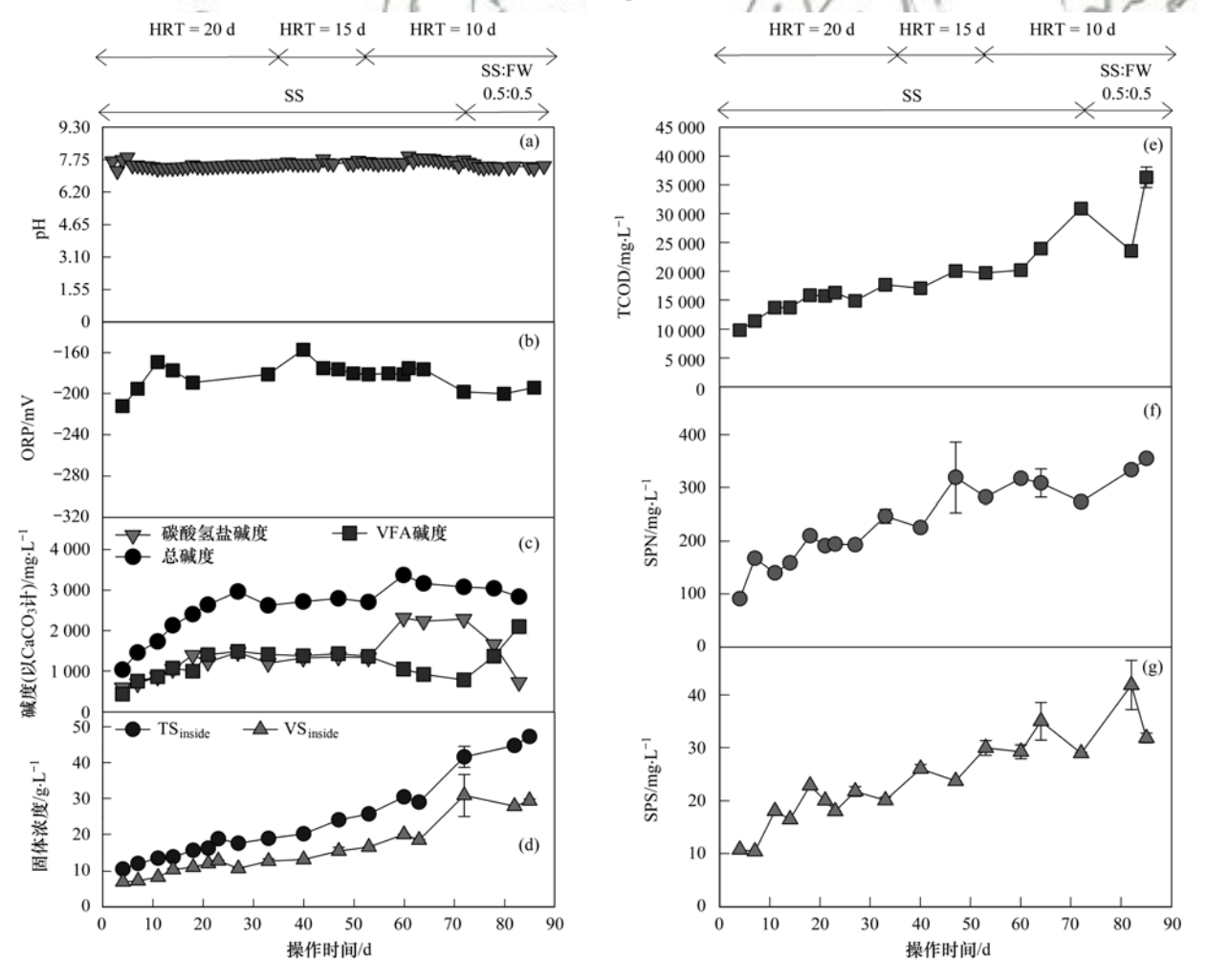


图 3 AnMBR 内部的物化性质 pH、ORP、碱度、固体浓度、TCOD、SPN 和 SPS 随操作时间的变化

Fig. 3 Physical and chemical characteristics in the AnMBR, pH, ORP, alkalinity, sludge concentration, TCOD, SPN and SPS versus operation time

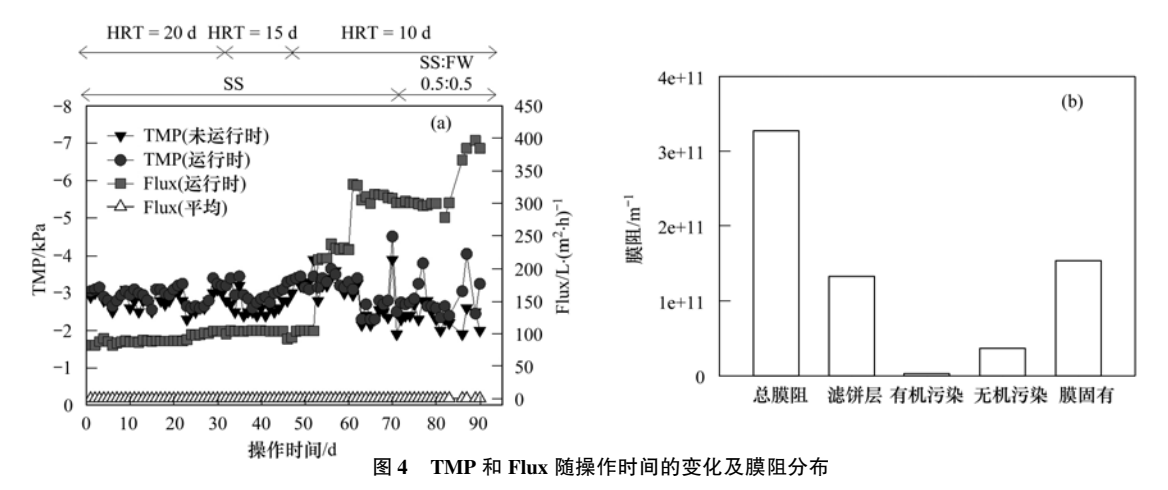


Fig. 4 Variations of TMP and Flux with operation time and the distribution of membrane resistances in the AnMBR

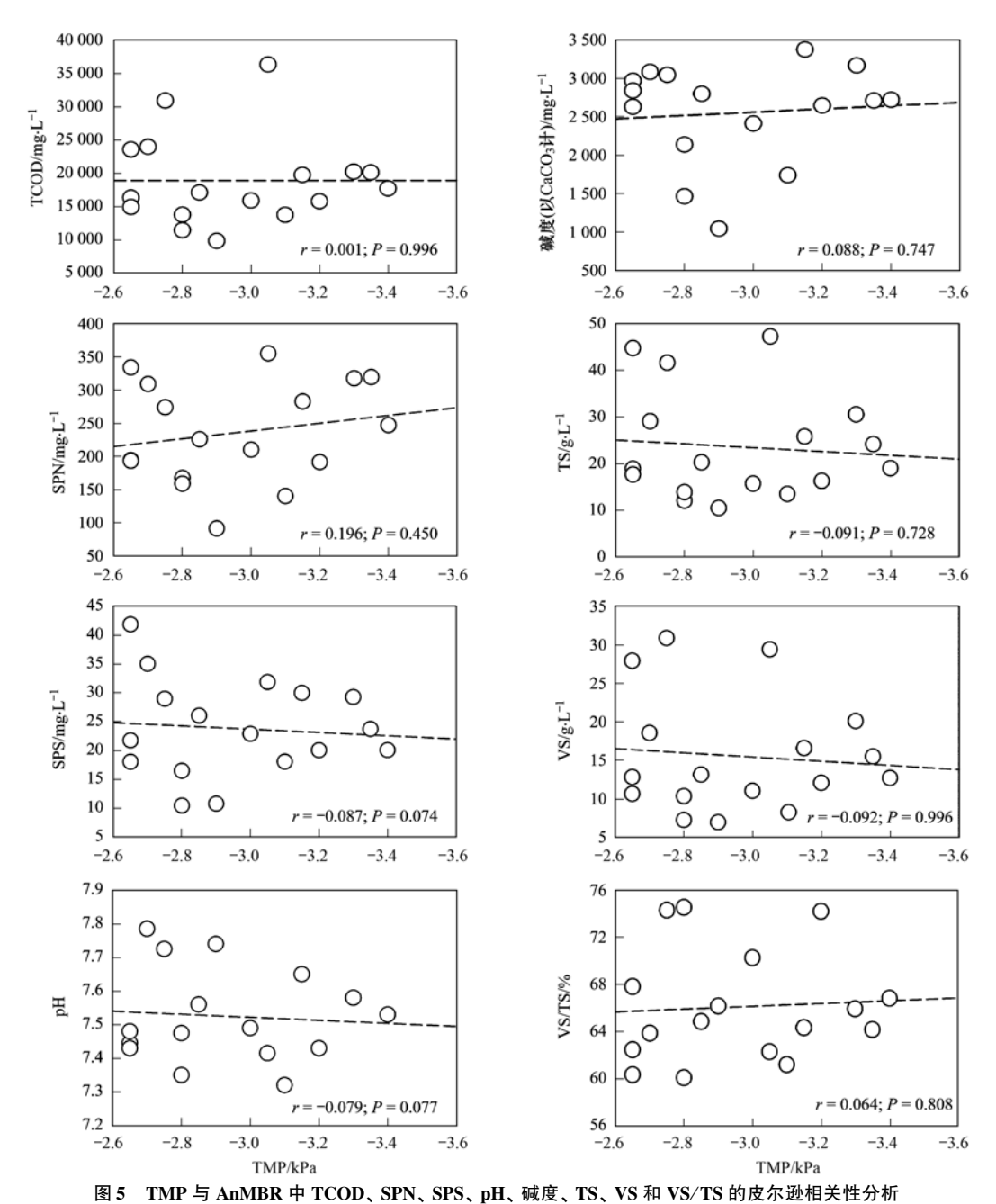


Fig. 5 Pearson's correlation between TMP and TCOD, SPN, SPS, pH, alkalinity, TS, VS, and VS/TS in the AnMBR

反应器内部的 TCOD 和 SPN 等 8 个 TMP 的影响因 素的最高值所对应的 TMP 均在 -3.1 ~ -2.7 kPa 范围内,这说明 AnMBR 运行过程中的内部有机质 含量、含固率和酸碱平衡的变化均没有加重膜污染. 平均 Flux 维持在 0. 106 L·(m²·h) ⁻¹左右,由于实验 过程中调整了泵速,故运行时 Flux 呈阶段性上升趋 势,但总体上高于平均 Flux. 这表明本研究的 AnMBR 在较低的膜通量下, TMP 较小, 膜污染较 轻. 此结论与膜污染测定结果一致,反应器运行的第 60 d,将平板膜从反应器中取出进行了膜清洗. 膜阻 分布如图 4(b) 所示, 总膜阻为 3×10¹¹ m⁻¹. 滤饼层 膜阻与膜固有阻力相当,分别占总阻力的41.0%和 47.1%.一般而言,滤饼层被认为是 AnMBR 膜结垢 的主要原因. 多糖的胶凝作用可以通过污泥中存在 大量二价或多价阳离子被大大增强,从而增加滤饼 的结垢行为. 因此,较低的滤饼层膜阻表明实验中膜 污染程度较轻.

2.5 AnMBR 的产气性能

在 HRT 为 20、15 和 10 d 的条件下, AnMBR 的 进料基质主要是剩余污泥. 根据 CH4 含量的变化, 后期改为剩余污泥+餐厨垃圾,其具体的产气性能 包括沼气产率、沼气组成、甲烷产率及产量,如图 6 所示. 反应器启动后, CH4 体积分数逐渐上升至 40%, 稳定运行了60 d, 第61~70 d, 反应器出现故 障,CH₄ 体积分数不稳定,低于传统 CSTR^[21,22]. 第 二阶段,对反应器进料进行了调整,投加基于 VS 的 0.5:0.5 比例的剩余污泥和餐厨垃圾,CH。体积分 数逐渐上升至60%并保持稳定,反应器总共运行了 90 d. 剩余污泥与餐厨垃圾共消化时的 CH4 体积分 数相对于剩余污泥单消化提高了 20%, CH4 产量提 高了39.6%,最终CH4产量(以CODadded 重量计)是 78.7 mL, 沼气产率(以沼气池体积计) 一直维持在 0. 11 L·d⁻¹左右. 产气性能高于 Hafuka 等^[18]的研究 结果,其研究内容是外置式 AnMBR 浓缩及消化好 氧膜生物反应器的剩余污泥时的反应性能,结果显 示 CH₄ 产量为 50 mL. 污泥的 C/N 一般较低(6.0~ 9.0),而餐厨垃圾的 C/N 较高(11.1~36.4),有机 固废厌氧消化的最佳 C/N 范围为 20~30. 因此,剩 余污泥单消化可能会出现 C/N 比不合适的问题. 由 于进料的调整, AnMBR 的产气性能提高, 分析原因 是剩余污泥与餐厨垃圾的共消化可克服剩余污泥单 消化时的基质营养组分不平衡,加速水解速率,提高 系统稳定性和产气性能[4].

2.6 AnMBR 厌氧消化微生物群落分析

图 7 分别显示了进料基质调整前后的 AnMBR 内部厌氧消化微生物的物种群落分析. 在界水平上,

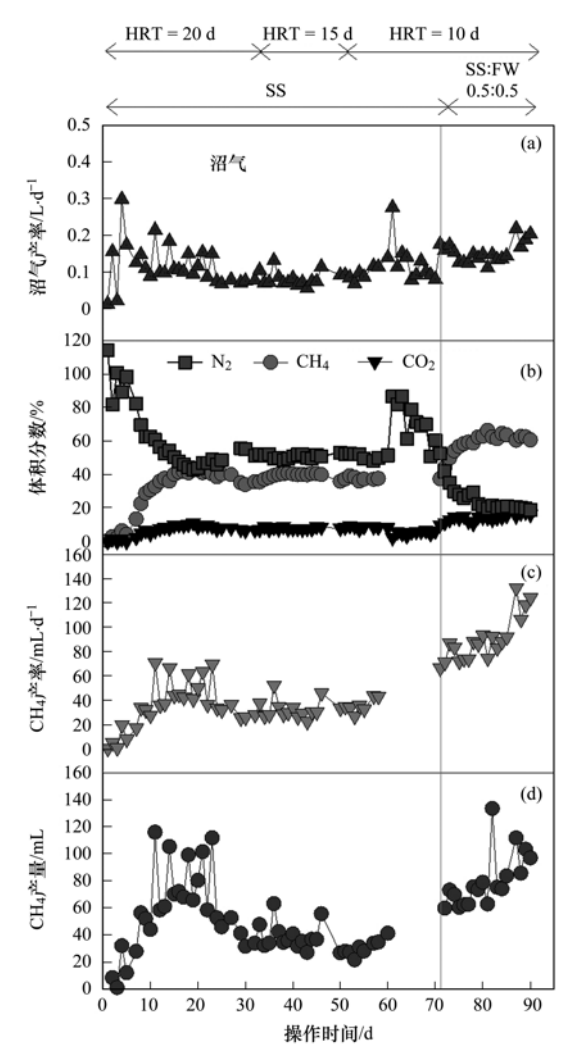


图 6 AnMBR 的产气性能随操作时间的变化:沼气产率, 沼气组成,甲烷产率和甲烷产量

Fig. 6 Performance of biogas production in the AnMBR with operation time: biogas production rate, biogas composition, CH_4 production rate, and CH_4 yield

两次的厌氧消化微生物均含有细菌和古菌,进料基 质为剩余污泥时,古菌相对丰度为2%,进料基质为 剩余污泥和餐厨垃圾时,古菌相对丰度为4%.基于 细菌的 16S rRNA 分析,在门水平上,两次的厌氧消 化细菌中主要的细菌均是 Proteobacteria (变形菌 门)、Bacteroidetes(拟杆菌门)和 Cloacimonetes(阴沟 单胞菌门),相对丰度分别是 36%、21%、21% 和 26%、28%、17%. Proteobacteria (变形菌门)在细胞 质降解和生物膜形成过程中占据十分重要的地位, 是一种兼性厌氧菌,Bacteroidetes(拟杆菌门)能够分 解高分子量化合物[23].进料基质调整后的 Proteobacteria(变形菌门)的相对丰度比进料基质调 整前降低了 10%,原因可能是 Proteobacteria (变形菌 门)还在更换基质的适应期.此外,两次的厌氧消化 细菌中相对丰度最高的分别是 Proteobacteria (变形 菌门)、Bacteroidetes(拟杆菌门),原因可能是餐厨垃

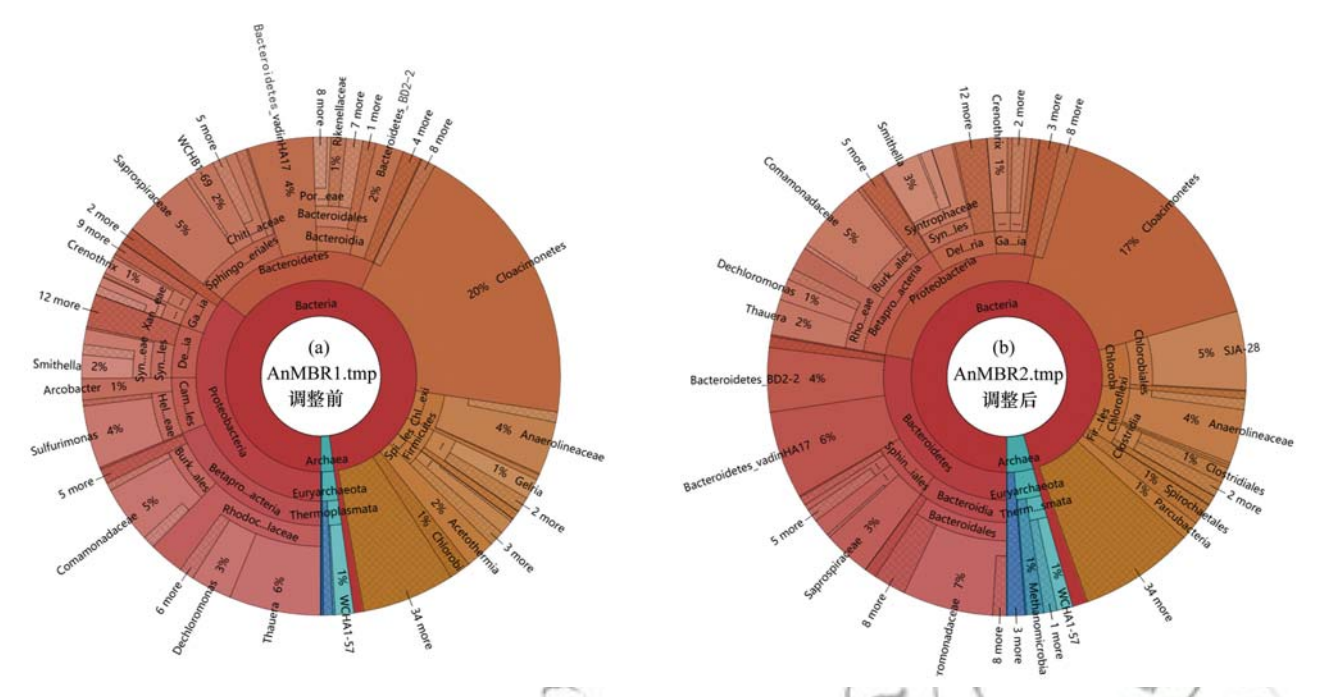


图 7 AnMBR 中进料基质调整前和进料基质调整后的群落组成

Fig. 7 Community composition in the AnMBR before and after adjusting the feed matrix

圾增加了基质中的可生物降解高分子有机物[4]. 基 于古菌科水平,进料基质调整前后,产甲烷菌中优势 菌科均是 Methanobacterium (甲烷杆菌科),相对丰 度为 0.01%, 属于氢营养型产甲烷菌, 利用 H, 和 CO, 产生 CH4. 基于古菌属水平, 进料基质调整前 后,产甲烷菌中优势菌属均是 Methanosaeta (甲烷鬃 毛菌属)和 Methanolinea(甲烷绳菌属),相对丰度分 别是 0.4%、0.5% 和 0.1%、0.4%, 两种产甲烷菌均 由于餐厨垃圾的加入而丰度上升,这可能是由于餐 厨垃圾与剩余污泥的共消化具有更高的可生物降解 能力[4]. Methanosaeta (甲烷鬃毛菌属)属于乙酸营养 型产甲烷菌,能够利用乙酸产生CH₄、CO₂,所产CH₄ 占 CH₄ 总体产量的 70% [24], 而 Methanolinea (甲烷 绳菌属)属于丙酸型产甲烷菌,通过降解丙酸盐产 CH₄[25]. 氢型产甲烷菌在古菌中所占的比例虽然不 高,但可起到降低氢分压的作用[25]. 这些微生物共 同推动有机物的增溶与降解、电子传递和甲烷生成.

3 结论

AnMBR 处理剩余污泥和餐厨垃圾的运行过程相对稳定,其 OLR 范围维持在 $0.59 \sim 0.64$ kg·(m³·d) $^{-1}$.剩余污泥和餐厨垃圾的共消化使 CH₄体积分数增加了 20%, CH₄产量提高了 39.6%,最终 CH₄产量达到了 78.7 mL, COD 截留率为 95.3%左右.进料基质调整前后的厌氧消化微生物中相对丰度最高的分别是 Proteobacteria (变形菌门, 36%)和 Bacteroidetes (拟杆菌门, 28%),产甲烷菌

中的优势菌科均为 Methanobacterium(甲烷杆菌科, 0.01%),优势菌属为 Methanosaeta(甲烷鬃毛菌属)(0.4%、0.5%)和 Methanolinea(甲烷绳菌属)(0.1%、0.4%).此外,通过长期监测 TMP、Flux 以及膜阻分析,可以得出,剩余污泥和餐厨垃圾的共消化可减轻膜污染,所以该研究可作为 SS 和 FW 的 AnMBR 共消化运行性能分析的依据,是非常有前景的一种剩余污泥和餐厨垃圾共消化的高效经济处理途径.

参考文献:

- [1] 戴晓虎. 城镇污水处理厂污泥稳定化处理的必要性和迫切性的思考[J]. 给水排水, 2017, **43**(12): 1-5.
- [2] Xu M L, Wen X H, Yu Z Y, et al. A hybrid anaerobic membrane bioreactor coupled with online ultrasonic equipment for digestion of waste activated sludge[J]. Bioresource Technology, 2011, 102(10): 5617-5625.
- [3] Liu X, Wang W, Shi Y C, et al. Pilot-scale anaerobic codigestion of municipal biomass waste and waste activated sludge in China; effect of organic loading rate[J]. Waste Management, 2012, 32(11); 2056-2060.
- [4] Pan Y, Zhi Z X, Zhen G Y, et al. Synergistic effect and biodegradation kinetics of sewage sludge and food waste mesophilic anaerobic co-digestion and the underlying stimulation mechanisms [J]. Fuel, 2019, 253; 40-49.
- [5] Dai X H, Duan N N, Dong B, et al. High-solids anaerobic codigestion of sewage sludge and food waste in comparison with mono digestions: stability and performance [J]. Waste Management, 2013, 33(2): 308-316.
- [6] Tong H H, Tong Y W, Peng Y H. A comparative life cycle assessment on mono- and co-digestion of food waste and sewage sludge[J]. Energy Procedia, 2019, 158: 4166-4171.
- [7] Zhen G Y, Pan Y, Lu X Q, et al. Anaerobic membrane bioreactor towards biowaste biorefinery and chemical energy

- harvest: recent progress, membrane fouling and future perspectives [J]. Renewable and Sustainable Energy Reviews, 2019, 115: 109392.
- [8] Huang Z, Ong S L, Ng H Y. Submerged anaerobic membrane bioreactor for low-strength wastewater treatment: effect of HRT and SRT on treatment performance and membrane fouling [J]. Water Research, 2011, 45(2): 705-713.
- [9] 闫欢汐,许振钰,金春姬,等. 厌氧膜生物反应器处理含盐 废水运行效能及膜污染特性[J]. 环境科学,2019,40(6):2793-2799.
 - Yan H X, Xu Z Y, Jin C J, et al. Performance and membrane fouling properties in an anaerobic membrane bioreactor for salty wastewater [J]. Environmental Science, 2019, 40(6): 2793-2799.
- [10] Dagnew M, Parker W, Seto P. Anaerobic membrane bioreactors for treating waste activated sludge: short term membrane fouling characterization and control tests [J]. Journal of Membrane Science, 2012, 421-422: 103-110.
- [11] APHA. Standard methods for the examination of water and wastewater (20th ed.) [M]. Washington, DC, USA; American Public Health Association, 1998.
- [12] Zhen G, Lu X Q, Li Y Y, et al. Innovative combination of electrolysis and Fe (II)-activated persulfate oxidation for improving the dewaterability of waste activated sludge [J]. Bioresource Technology, 2013, 136: 664-663.
- [13] Frølund B, Palmgren R, Keiding K, et al. Extraction of extracellular polymers from activated sludge using a cation exchange resin [J]. Water Research, 1996, 30 (8): 1749-1758.
- [14] DuBois M, Gilles K A, Hamilton J K, et al. Colorimetric method for determination of sugars and related substances[J]. Analytical Chemistry, 1956, 28(3): 350-356.
- [15] Braz G H R, Fernandez-Gonzalez N, Lema J M, et al. Organic overloading affects the microbial interactions during anaerobic digestion in sewage sludge reactors [J]. Chemosphere, 2019, 222: 323-332.
- [16] Alfaro N, Fdz-polanco M, Fdz-Polanco F, et al. H₂ addition through a submerged membrane for in-situ biogas upgrading in the anaerobic digestion of sewage sludge [J]. Bioresource Technology, 2019, 280: 1-8.
- [17] Wandera S M, Qiao W, Jiang M M, et al. AnMBR as alternative to conventional CSTR to achieve efficient methane production

- from thermal hydrolyzed sludge at short HRTs $[\ J\]$. Energy, 2018, 159: 588-598.
- [18] Hafuka A, Mimura K, Ding Q, et al. Performance of anaerobic membrane bioreactor during digestion and thickening of aerobic membrane bioreactor excess sludge[J]. Bioresource Technology, 2016, 218: 476-479.
- [19] Gao D W, Zhang T, Tang C Y Y, et al. Membrane fouling in an anaerobic membrane bioreactor: differences in relative abundance of bacterial species in the membrane foulant layer and in suspension [J]. Journal of Membrane Science, 2010, 364 (1-2): 331-338.
- [20] 詹瑜,施万胜,赵明星,等. 高含固污泥厌氧消化中蛋白质转化规律[J]. 环境科学, 2018, **39**(6): 2778-2785.

 Zhan Y, Shi W S, Zhao M X, *et al.* Transformation of protein in sludge during high solids anaerobic digestion[J]. Environmental Science, 2018, **39**(6): 2778-2785.
- [21] Ennouri H, Miladi B, Diaz S Z, et al. Effect of thermal pretreatment on the biogas production and microbial communities balance during anaerobic digestion of urban and industrial waste activated sludge[J]. Bioresource Technology, 2016, 214: 184-191.
- [22] Ni B J, Zeng S T, Wei W, et al. Impact of roxithromycin on waste activated sludge anaerobic digestion; methane production, carbon transformation and antibiotic resistance genes[J]. Science of the Total Environment, 2020, 703; 134899.
- [23] Zhi Z X, Pan Y, Lu X Q, et al. Electrically regulating cofermentation of sewage sludge and food waste towards promoting biomethane production and mass reduction [J]. Bioresource Technology, 2019, 279: 218-227.
- [24] 李玥,胡奇,高大文.温度对一体式厌氧流化床膜生物反应器运行效能及微生物群落结构的影响[J].环境科学,2018,39(4):1731-1738.
 - Li Y, Hu Q, Gao D W. Effect of temperature on the performance and microbial community structure in an integrated anaerobic fluidized-bed membrane bioreactor treating benzothiazole wastewater [J]. Environmental Science, 2018, 39 (4): 1731-1738
- [25] Cayetano R D A, Park J H, Kim S H. Effect of shear velocity and feed concentration on the treatment of food waste in an anaerobic dynamic membrane bioreactor; performance monitoring and microbial community analysis [J]. Bioresource Technology, 2020, 296: 122301.

HUANJING KEXUE

Environmental Science (monthly)

Vol. 41 No. 8 Aug. 15, 2020

CONTENTS

Comparison Analysis of the Effect of Emission Reduction Measures for Major Events and Heavy Air Pollution in the Capital ZH	
$ \label{thm:continuous} Evaluation of Different ISORROPIA-II Modes and the Influencing Factors of Aerosol pH Based on Tianjin Online Data \\$	
Emission Characteristics of Particulate Organic Matter from Cooking	LI Yuan-ju, WU Ai-hua, TONG Meng-xue, et al. (3467)
Characteristics and Sources of 12 Trace Amount Elements in PM _{2.5} During a Period of Heavy Pollution in Huanggang, Central China	
Aerosol Optical Properties over the Ebinur Region	ZHANG Zhe, DING Jian-li, WANG Jin-jie (3484)
Characteristics of Secondary Organic Particles and the Potential Formation of SOA from VOCs During Wintertime Heavy Pollution Episo	des in Tianjin ·····
	······· XU Hong, TANG Miao, XIAO Zhi-mei, et al. (3492)
Characteristics and Source Apportionment of VOCs at Different Pollution Levels During the Winter in an Urban Area in Zhengzhou	
Emission Inventory of Intermediate Volatility Organic Compounds (IVOCs) from Biomass Burning in the Yangtze River Delta During 20	10-2018 · · · · · · · · · · · · · · · · · · ·
	···· ZHU Yong-hui, WANG Qian, HUANG Ling, et al. (3511)
Emission Characteristics of Biogenic Volatile Compounds (BVOCs) from Common Greening Tree Species in Northern China and Their	Correlations with Photosynthetic Parameters
	·· XU Yan, LI Shuang-jiang, YUAN Xiang-yang, et al. (3518)
Characteristics of Surface Ozone and Impact Factors at Different Station Types During the Autumn in Guangzhou	
Pollution Characteristics and Sensitivity Analysis of Atmospheric Ozone in Taian City	LI Kai, LIU Min, MEI Ru-bo (3539)
Pollution Characteristics and Health Risk Assessment of Heavy Metals in Road Dust from Non-ferrous Smelting Parks	FENG Yu-yao, SHI Jian-wu, ZHONG Yao-qian, et al. (3547)
Pollution and Source Analysis of Heavy Metal in Surface Dust from Xi'an University Campuses	
Monitoring Method of Total Particulate Matter in Ultra-low-emission and High-humidity Exhaust Gas from Stationary Sources and an Act	
Vessels' Air Pollutant Emissions Inventory and Emission Characteristics in the Xiamen Emission Control Area	
Method for High-resolution Emission Inventory for Road Vehicles in Chengdu Based on Traffic Flow Monitoring Data	· · · · · · · · · · · · · · · · · · ·
Inversion of Water Quality Parameters Based on UAV Multispectral Images and the OPT-MPP Algorithm	
Effects of Different Water Stratification on the Vertical Distribution of Nitrogen in Sediment Interstitial Waters: A Case Study of the Th	
	····· III ling-si ZHI Xiao-sheng HI Zi-long et al. (3601)
Pollution Status and Pollution Behavior of Microplastic in Surface Water and Sediment of Urban Rivers	
Spatial and Temporal Variation of Phytoplankton Community Structure and Its Influencing Factors in Shanghai River Channels	
Restoration of River Sediment by Calcium Peroxide (CaO ₂) Combined with Biochar	
Quantification of Nitrate Sources to Groundwater in Karst Trough-valley Areas Based on Dual Stable Isotopes of δ^{15} N-NO ₃ ⁻ and δ^{18} O-N	
Quantification of Nitrate Sources to Groundwater in Karst Trough-variety Areas based on Dutai Stable Isotopes of 6 18-1803 and 6 0-18	O ₃ and the isosource model
Dynamic Process of Nitrogen and Phosphorus Export and Loss Load in an Intensive Orchard with Ridge and Furrow Plantation in the Th	
Dynamic rrocess of Autogen and Fhosphorus Export and Loss Load in an intensive Orchard with Rudge and Furrow Frantation in the 1n	WANG Volume LILLOW And (2646)
Analysis of Rainfall Runoff Pollution and Pollution Load Estimation for Urban Communities in a Highly Urbanized Region	
Adsorption of As(III) in Water by Iron-loaded Graphene Oxide-Chitosan	
Adsorption of As(iii) in water by Iron-toaded Graphene Oxide-Unitosan Z. Sorption Behaviors of Copper Ions and Tetracycline on Microplastics in Aqueous Solution XU.	
Sorption benaviors of Copper ions and Tetracycline on Micropiastics in Aqueous Solution AU Effect of Porous Fillers Properties on Biofilm Growth	
Adaptability of Nitrifying Biofilm Systems to Low Temperature: MBBR and IFAS	
Improved on Nitrogen Removal of Anaerobic Ammonia Oxidation by Coupling Element Sulfur-based Autotrophic Short-cut Denitrification	
Nitrogen and Phosphorus Removal from Domestic Sewage Aerobic Granular Sludge Under Intermittent Gradient Aeration	
Rapid Start-up and Stability of Partial Denitrification Based on Different Waste Sludge Sources ZH.	
Decision-making Analysis of Excess Sludge Pretreatment for Struvite Recovery Based on AHP-PROMETHEE II Method	
Effect on Ammonia Inhibition Mitigation in the Anaerobic Digestion Process with Zero-Valent Iron	
Performance of Anaerobic Membrane Bioreactors for the Co-digestion of Sewage Sludge and Food Waste	
Antibiotics Induce Horizontal Gene Transfer of Resistance at Sublethal Concentrations	
Impact of Tetracycline Antibiotic on the Transcriptional Expression of Tetracycline Resistance Genes in Shigella flexneri	
Competitive Selection of Hydroxylamine on Ammonia Oxidizing Bacteria and Nitrite Oxidizing Bacteria	
Analysis of the Effect of Temperature on the Microbial Flora Structure During the Nitrite Oxidation Process Using 16S rRNA High-through	ghput Sequencing
Universality and Potential Application of Mn(II) Oxidation Triggered by Microbial Interspecies Interactions	
Distribution and Potential Nitrification Rates of Aerobic Ammonia-Oxidizing Microorganisms in Surface Sediments of Mangrove in Sanya	River
Effects of Ozone Pollution on Growth, Yields, and Mineral Metallic Element Contents of Paddy Rice	
Short Term Effects of a Changing Carbon Input on the Soil Respiration of Picea schrenkiana Forests in the Tianshan Mountains, Xinjian	9
Effects of the Combined Application of Organic and Inorganic fertilizers on N ₂ O Emissions from Saline Soil	
Mechanism and Influencing Factors of Increasing Soil Temperature by in-situ Electrical Resistance Heating	
Acid Mine Wasteland Reclamation by Juncus ochraceus Buchen as a Potential Pioneer Plant	·· HUANG Jian-hong, FU Jiang-li, YAN Xin-rui, et al. (3829)
Effects of Drip Irrigation Patterns and Biochar Addition on Soil Mineral Nitrogen and Microbial Regulation of Greenhouse	
Effects of Cotton Stalk Biochar on the Structure and Function of Fungi Community in Alkaline Rhizosphere Soil of Rice Under Cadmium	Pollution ····
	· LIU Shi-dou, HAN Yao-guang, ZHU Xin-ping, et al. (3846)
$Effects \ of \ Different \ Treatments \ with \ Water \ Management \ Combined \ with \ Leaf \ Spraying \ Silicon \ Fertilizer \ on \ Cd \ Accumulation \ in \ Rice \cdots$	WEI Bin-yun, ZHOU Hang, LIU Jia-wei, et al. (3855)
Effects of Chelate GLDA on the Remediation of Cadmium Contaminated Farmland by Pennisetum purpureum Schum	QIN Jian-jun, TANG Sheng-shuang, JIANG Kai, $\it et~al.~(3862)$
Situation Analysis and Trend Prediction of the Prevention and Control Technologies for Planting Non-Point Source Pollution	· YU Ying-liang, YANG Lin-zhang, LI Hong-na, et al. (3870)